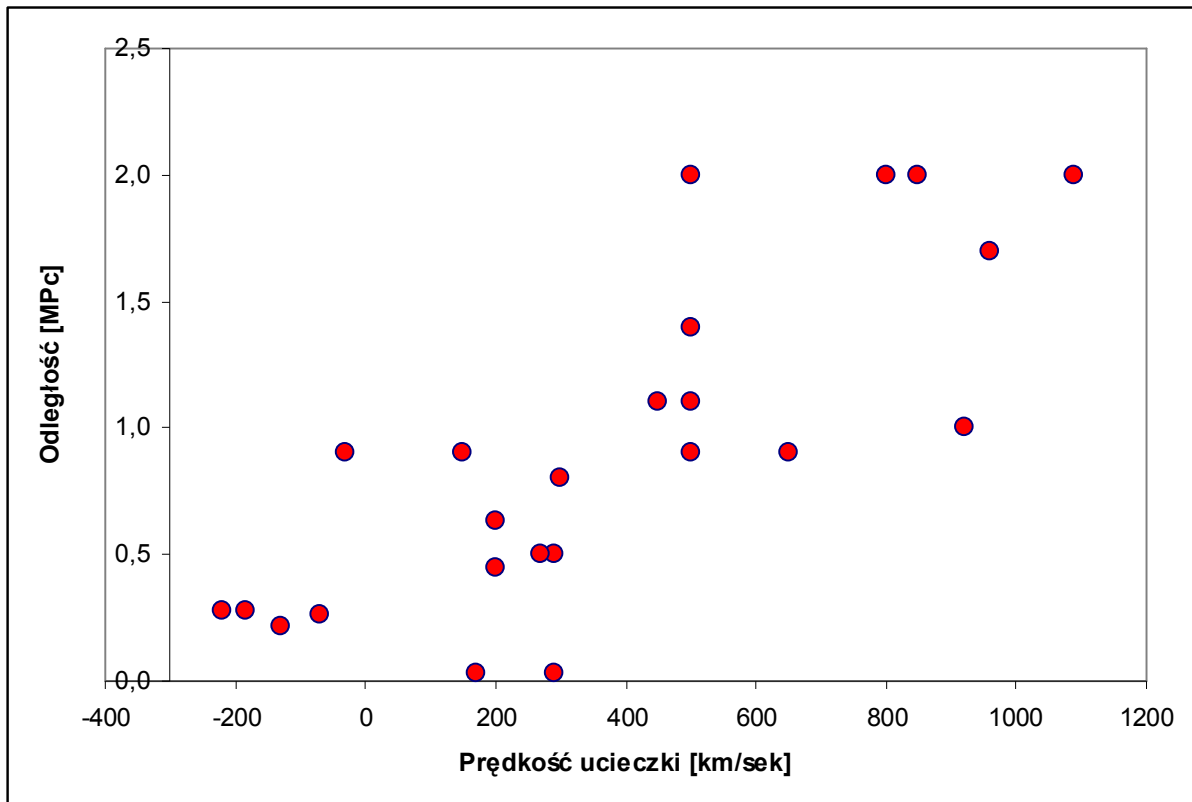


## Regresja liniowa

x	170	290	-130	-70	-185	-220	200	290	270	200	300	-30
y	0,03	0,03	0,21	0,26	0,28	0,28	0,45	0,50	0,50	0,63	0,80	0,90
*												
x	650	150	500	920	450	500	500	960	500	850	800	1090
y	0,90	0,90	0,90	1,00	1,10	1,10	1,40	1,70	2,00	2,00	2,00	2,00

Tab. 1 Dane Hubble'a o prędkości ucieczki gromad znajdujących się poza Drogą Mleczną.  $x$  – prędkość ucieczki [km/sek],  $y$  – odległość<sup>1</sup> [Mpc<sup>2</sup>]. Źródło: Hubble, E., *A Relation Between Distance and Radial Velocity Among Extra-galactic Nebulae*, Proc. Nat. Acad. of Science, 15 (1929).



Rys. 1 Dane Hubble'a

Przybliżony model fizyczny:  
[Rysunek na tablicy]

$$\sin(\alpha) = \frac{y}{vT} = \frac{x}{vt}, \quad y = Tx$$

Tu:  $y$  – odległość mgławicy od Ziemi,  $v$  – prędkość oddalania się ciał niebieskich na skutek Wielkiego Wybuchu,  $T$  – czas od wielkiego wybuchu<sup>3</sup>,  $x$  – prędkość ucieczki galaktyki od Ziemi,  $t$  – czas obserwacji.

<sup>1</sup> Odległości, wyznaczone na podstawie jasności gromad, miały bardzo duży błąd pomiarowy.

<sup>2</sup> Mpc – megaparsek =  $3,086 \cdot 10^{19}$  km. 1 parsek - odległość obiektu od Ziemi o kącie paralaksy równym 1 sek

<sup>3</sup> Wartość  $H_0 = 1/T$  gdy  $[y] = \text{Mpc}$ ,  $[x] = \text{km/sek}$  nazywa się stałą Hubble'a. Dane z 2010 oparte o pomiar soczewkowania grawitacyjnego z wykorzystaniem Teleskopu Kosmicznego Hubble'a dało wartość  $H_0 = 72,6 \pm 3,1$  (km/s)/Mpc

## 7. Regresja liniowa

Model regresji:

$$y(x) = \mu(y|x) + \varepsilon, \text{ gdzie}$$

$x$  – parametr,  $\mu(y|x)$  - wartość oczekiwana  $y$  dla zadanego  $x$   $\varepsilon$  - błąd losowy o rozkładzie  $N(0, \sigma^2)$ .

Próbka:  $(x_1, y_1), (x_2, y_2), \dots, (x_n, y_n)$ . Zakładamy, że  $y_1, y_2, \dots, y_n$  są niezależne.

Rozważamy trzy modele :

$$M_0 : \mu(y|x) = \mu_0, \quad M_1 : \mu(y|x) = \beta_0 + \beta_1 x, \quad M_2 : \mu(y|x) = \beta_1 x$$

x	y	M <sub>0</sub>		M <sub>1</sub>		M <sub>2</sub>	
170	0,03	0,91	0,77	0,63	0,36	0,33	0,09
290	0,03	0,91	0,77	0,80	0,58	0,56	0,27
-130	0,21	0,91	0,49	0,22	0,00	-0,25	0,22
-70	0,26	0,91	0,42	0,30	0,00	-0,13	0,16
-185	0,28	0,91	0,40	0,15	0,02	-0,36	0,40
-220	0,28	0,91	0,40	0,10	0,03	-0,42	0,49
200	0,45	0,91	0,21	0,67	0,05	0,38	0,00
290	0,50	0,91	0,17	0,80	0,09	0,56	0,00
270	0,50	0,91	0,17	0,77	0,07	0,52	0,00
200	0,63	0,91	0,08	0,67	0,00	0,38	0,06
300	0,80	0,91	0,01	0,81	0,00	0,58	0,05
-30	0,90	0,91	0,00	0,36	0,29	-0,06	0,92
650	0,90	0,91	0,00	1,29	0,15	1,25	0,12
150	0,90	0,91	0,00	0,61	0,09	0,29	0,37
500	0,90	0,91	0,00	1,09	0,03	0,96	0,00
920	1,00	0,91	0,01	1,66	0,44	1,77	0,59
450	1,10	0,91	0,04	1,02	0,01	0,86	0,06
500	1,10	0,91	0,04	1,09	0,00	0,96	0,02
500	1,40	0,91	0,24	1,09	0,10	0,96	0,19
960	1,70	0,91	0,62	1,72	0,00	1,84	0,02
500	2,00	0,91	1,19	1,09	0,84	0,96	1,08
850	2,00	0,91	1,19	1,57	0,19	1,63	0,13
800	2,00	0,91	1,19	1,50	0,25	1,54	0,21
1090	2,00	0,91	1,19	1,90	0,01	2,09	0,01

**średnia 0,91 SS 9,5833 SS 3,6078 SS 5,4689**

**Tab. 2 Modele M<sub>i</sub> z dopasowanymi metodą najmniejszych kwadratów**

	Współczynniki	Błąd standardowy	t Stat	Wartość-p	Dolne 95%	Górne 95%
Przecięcie	0,3991	0,1185	3,37	0,003	0,15	0,64
x	0,001373	0,000227	6,04	0,000004	0,000901	0,001845

**Tab. 3 Model M<sub>1</sub>**

	df	SS	MS	F	Istotność F
Regresja	1	5,9755	5,98	36,44	4,48E-06
Resztkowy	22	3,6078	0,16		
Razem	23	9,5833			

**Tab. 4 ANOVA dla modelu M<sub>1</sub>. R<sup>2</sup>=0,62**

## 7. Regresja liniowa

	Współczynniki	Błąd standardowy	t Stat	Wartość-p	Dolne 95%	Górne 95%
x	0,00192	0,00019	10,05684	0,00000	0,00153	0,00232

**Tab. 5 Model M<sub>2</sub>. H<sub>0</sub>=520,3 (km/s)/Mpc**

	df	SS	MS	F	Istotność F
Regresja	1	4,114388	4,11	17,30	0,0004
Resztkowy	23	5,468902	0,24		
Razem	24	9,58329			

**Tab. 6 ANOVA dla modelu M<sub>1</sub>. R<sup>2</sup>=0,43**

Czas od wielkiego wybuchu

$$0,00019 \frac{\text{Mpc}}{\frac{\text{km}}{\text{sek}}} = 0,00019 * 3,086 * 10^{19} \text{ sek} = 5,92 * 10^{16} \text{ sek} = \frac{5,92 * 10^{16}}{3600 * 24 * 365,25} \text{ lat} = 1,9 \text{ mld lat}^4$$

---

<sup>4</sup> Wg ostatnich danych 13,5 mld lat